

山梨大学工学部 正員 平島健一  
 東京大学大学院 学生員 中川 茂

1. まえがき

表面荷重あるは表面変位が与えられた等方性の半無限弾性体の境界値問題の解は Boussinesq はじめとし  
 て多数の研究者により各種の問題と対象として提案されてきた。他方、現実の基礎状態と考慮に入れて上記の  
 解と補正し異方性体とした場合の解も Michell, Wolf, Barden, Pickering, Moroto あるいは Nagakura の研究者によ  
 って具体的荷重分布の例に対して考察検討がなされてきた。

本文も鉛直 Z 軸に同じ対称性と有する半無限異方性体(横異方性体)を対象とし、表面に矩形分布の鉛直荷重  
 (等分布荷重でなくともよい)が作用する場合の応力および変形状態と解析的に求めたものである。数値計  
 算例は等分布鉛直方向に作用する矩形形の荷重の場合に対して実施し、応力、変形の分布図が示される。

2. 横異方性体内の応力, 変位

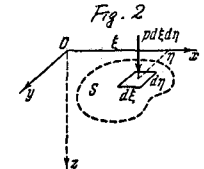
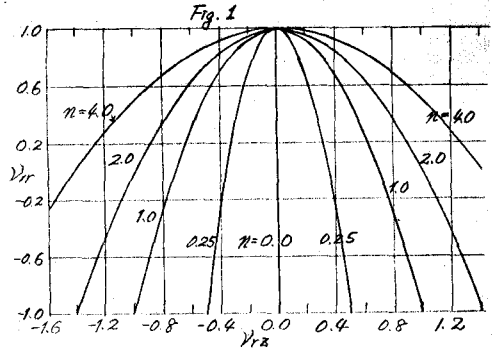
軸対称の内柱座標系で表わした横異方性体の応力および  
 変位は、Z を鉛直軸、r を水平軸として次式で与えられる。

$$\left. \begin{aligned} E_r &= \frac{1}{E_r} (\sigma_r - \nu_{rr} \sigma_\theta - \nu_{rz} \sigma_z), & E_\theta &= \frac{1}{E_r} (\sigma_\theta - \nu_{rr} \sigma_r - \nu_{rz} \sigma_z) \\ E_z &= \frac{\nu_{rz}}{E_z} (\sigma_r + \sigma_\theta) + \frac{1}{E_z} \sigma_z, & \gamma_{rz} &= \frac{1}{G_{rz}} \tau_{rz} \end{aligned} \right\} \dots (1)$$

すなわち、 $E_r$  ( $\approx n E_z$ ) は水平方向の、 $E_z$  は鉛直方向の Young 率  
 $\nu_{rr}, \nu_{rz}$  は Poisson 比、 $G_{rz}$  はせん断弾性係数である。  
 以下の弾性定数は、必ずみエネルギーの正値形式で仮定す  
 ると次のような条件を満足しなければならない。

(a)  $E_r, E_z, G_{rz}$  は正、(b)  $-1 < \nu_{rr} < 1$ 、(c)  $E_r E_z (1 - \nu_{rr}) - 2 \nu_{rz}^2 > 0$

したがって、 $n (= E_r/E_z)$  の各種の値に対して  $\nu_{rr}, \nu_{rz}$  の関係は Fig. 1 に示す放物線の内部  
 の値にとる必要がある。



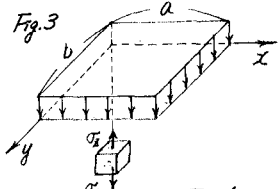
さて、任意形状の分布荷重が表面に作用した場合の応力, 変位について考之よう。

いま X, Y 表面上のある部分 S に分布荷重が作用してゐるものとすれば、例之は鉛直応力  $\sigma_z = \sigma_z(x, y, z)$  は

$$\sigma_z = \frac{z}{2\pi\sqrt{z}(z-z_0)} \iint_S \left\{ \frac{1}{[(x-\xi)^2 + (y-\eta)^2 + z^2]^{3/2}} - \frac{1}{[(x-\xi)^2 + (y-\eta)^2 + z_0^2]^{3/2}} \right\} P(\xi, \eta) d\xi d\eta \dots (2)$$

で求められる。すなわち  $d, S_1, S_2$  等は対象とする横異方性体の弾性定数を求めるべきものである。

例之は、Fig. 3 に示す矩形形の鉛直荷重  $P_0$  が作用する場合の Z 軸上の鉛直応力  $\sigma_z$   
 ならびに鉛直変位  $w$  は次式で与えられる二重積分と実行すればよい。その結果は

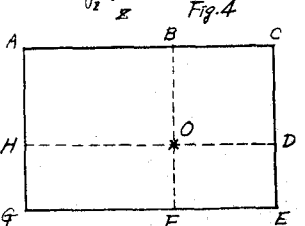


$$\sigma_z = \frac{P_0 z}{2\pi\sqrt{z}(z-z_0)} \iint_S \left\{ \frac{1}{(r^2 + z^2)^{3/2}} - \frac{1}{(r^2 + z_0^2)^{3/2}} \right\} r dr d\theta$$

$$= \frac{P_0}{2\pi\sqrt{z}(z-z_0)} \left\{ \frac{1}{S_1} \tan^{-1} \frac{ab}{S_1 z \sqrt{a^2 + b^2 + z^2}} - \frac{1}{S_2} \tan^{-1} \frac{ab}{S_2 z \sqrt{a^2 + b^2 + z_0^2}} \right\} \dots (3)$$

$$w = \frac{P_0}{2\pi\sqrt{z} E_z (z-z_0)} \iint_S \left\{ -\frac{1}{S_1^2 (r^2 + z^2)^{3/2}} + \frac{1}{S_2^2 (r^2 + z_0^2)^{3/2}} \right\} r dr d\theta$$

$$= \frac{P_0 z}{2\pi\sqrt{z} E_z (z-z_0)} \left\{ -\frac{1}{S_1^2} A + \frac{1}{S_2^2} B \right\} + \frac{P_0 z \nu_{rz}}{2\pi\sqrt{z} E_r (z-z_0)} \left\{ (-A+B) + \frac{d}{ac-d} (g_1 A - g_2 B) \right\} \dots (4)$$



ただし、 $a, b, C, g_1, g_2$  は  $\nu_{rz}$  等はそれぞれ弾性定数で定まる学数および  
 積分と実行した際に入力されるべき関数であるが、かなり複雑な式のため、  
 二では省略する。(3)(4)式のように矩形荷重の隅角部(Z軸上)の応力, 変位が求まったから、長方形と適当に重畳  
 せよとにより、任意点の応力  $\sigma_z$  および変位  $w$  も容易に求められることが可能である (Fig. 4 参照)。

### 3. 数値計算例

数値計算を実施するに当り、対象とする媒体のせん断弾性係数  $G_{rz}$  の値は Barden の行った仮定<sup>1)</sup> により、 $G_{rz} = \frac{E_r}{1 + \nu_r + 2\nu_{rz}}$  とした。

まず前節で得られた解析解の妥当性と検証するために、等方性とした矩形分布荷重の場合の Steimbrenner<sup>2)</sup> の結果、横異方性とした軸対称(円形)分布荷重の場合の Moroto<sup>3)</sup>、Nayak<sup>4)</sup> の結果と比較を行なったが充分な精度で一致することを確認した。

幾つかの数値計算結果を示そう。Fig.5は  $\nu_r = \frac{E_r}{E_z} = 1.01$  (等方性に近き場合) とおき、ポアソン比  $\nu_{rz}$ ,  $\nu_{rz}$  と三種の異なる値に設定した、正方形等分布荷重  $p$  による中央線  $x=0$  下の半無限体内に生じる圧力球根である。この例から、 $\nu_{rz}$  の値が大きければ、応力  $\sigma_z$  が深さ方向に伝達しにくく、逆に  $\nu_{rz}$  の値が大きければ、応力  $\sigma_z$  が深さ方向に影響を及ぼすことが理解できる。次に、 $\nu_r$  が変化する場合の例を Fig.6 に示す。この図は  $\nu_r = 0.50, 2.00$  および  $10.0$  と変化させた場合 ( $\nu_{rz} = \nu_{rz} = 0.30$  とした) の圧力球根と求めた位置は Fig.5 の場合と同じである。これはよければ、 $\nu_r$  (したがって  $E_r$ ) が小さい方が細長い球根となり、深さ方向に伝達し、 $\nu_r$  が大きくなると、応力  $\sigma_z$  は深さ方向に伝わりやすく、横にはらみ出してより扁平な形状となる。

Fig. 5

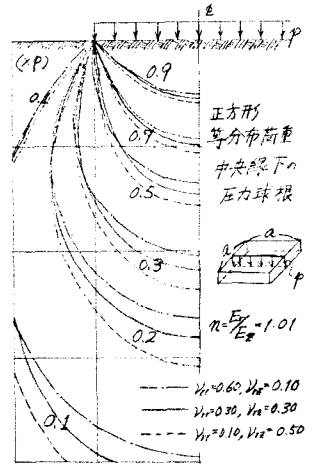


Fig. 6

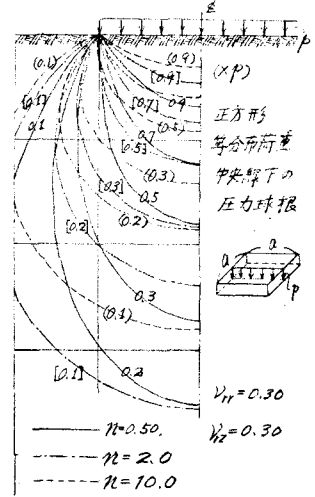


Fig. 7

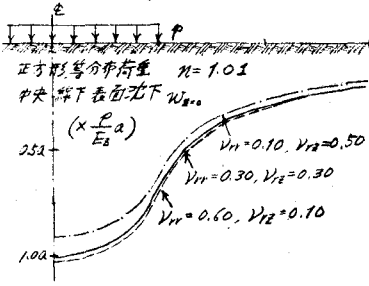
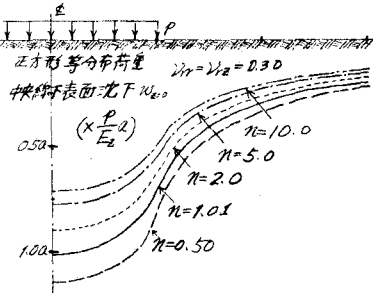


Fig. 8



次に、Fig.7は Fig.5の状態での中央線  $x=0$  下の表面沈下  $w_{z=0}$  の分布である。これはより、 $\nu_{rz}$  の方が  $\nu_{rz}$  よりも変化に大きく影響を及ぼすことが理解できる。同様に、Fig.8は Fig.6に対応する表面沈下  $w_{z=0}$  の分布図である。これは  $E_r$  のより小さい値によって、表面沈下はより大きくなり、 $E_r$  のより大きな値によって表面沈下はより小さくなることを示している。Fig.9は正方形中央線下の等変位曲線である。等方性に近き場合 ( $\nu_r = 1.01$ )、異方性の顕著な場合 ( $\nu_r = 10.0$ ) を通じて、載荷域からある距離は  $z/a$  線上では表面変位よりも、多少大きな変位を生じる部分が存在することが観察される。また、 $E_r$  の大きい方が変位量は小さく、変位も深さ方向に伝達しにくくなる。

### 4. おわりに

その他の計算例および詳細は講演会当日に譲る。

参考文献: 1) L. Barden, *Geotechnique*, Vol.13 (1963), pp.198~210. 2) D.J. Pickering, *Geotechnique*, Vol.20 (1970), pp.271~276. 3) N. Moroto, *Proc. of JSCE*, No.212 (1973), pp.121~129. 4) S.G. Lekhnitskii, *Theory of Elasticity of Anisotropic Elastic Body* (1963), pp.347~385. 5) 最上武雄編「土質力学」技報堂, pp.226~306. pp.83~90.